

**Санкт-Петербургский Политехнический Университет**  
Институт компьютерных наук и технологий  
Кафедра компьютерных систем и программных технологий

**Отчёт по лабораторным работам №1 и №2**

**Дисциплина:** Телекоммуникационные технологии

**Тема:** Сигналы телекоммуникационных систем. Ряд Фурье.  
Преобразование Фурье. Корреляция.

**Работу выполнил студент**  
гр. 33501/4 Леженин Ю.И.  
**Преподаватель**  
Богач Н.В.

Санкт-Петербург  
13 апреля 2018 г.

# 1 Цель работы.

Познакомиться со средствами генерации и визуализации простых сигналов.

# 2 Постановка задачи.

В командном окне MATLAB и в среде Simulink промоделировать синусоидальный и прямоугольный сигналы с различными параметрами. Получить их спектры. Вывести на график.

# 3 Ход работы.

## 3.1 Ряд и интеграл Фурье.

Любая ограниченная, кусочно-непрерывная периодическая функция, имеющая конечное число экстремумов на протяжении периода, может быть представлена в виде ряда Фурье:

$$\varphi_p(t) = \sum_{k=-\infty}^{\infty} C_k e^{j2\pi k f_1 t},$$

где  $f_1 = 1/T_1$ ;  $T_1$  – период функции  $\varphi_p(t)$ ;  $C_k$  – постоянные коэффициенты.

Коэффициенты могут быть найдены следующим образом:

$$C_k = \frac{1}{T_1} \int_{t_0}^{t_0+T_1} \varphi_p(t) e^{-j2\pi k f_1 t} dt.$$

При этом значение выражения не зависит от  $t_0$ . Обычно берется  $t_0 = 0$  или  $t_0 = -T_1/2$ .

Приведенные формулы можно записать в виде одного выражения:

$$\varphi_p(t) = \sum_{k=-\infty}^{\infty} \left[ \frac{1}{T_1} \int_{t_0}^{t_0+T_1} \varphi_p(t) e^{-j2\pi k f_1 t} dt \right] e^{j2\pi k f_1 t}.$$

Ряд Фурье справедлив для периодических сигналов, однако на его основе можно вывести соотношения и для непериодических сигналов. В этом случае период  $T_1 \rightarrow \infty$ , в связи с этим частота  $f_1 \rightarrow 0$  и обозначается как  $df$ ,  $k f_1$  является текущим значением частоты  $f$ , а сумма меняется

на интеграл. В результате получается выражение

$$\varphi_p(t) = \int_{-\infty}^{\infty} \left[ \int_{-\infty}^{\infty} \varphi_p(t) e^{-j2\pi ft} dt \right] e^{j2\pi ft} df.$$

Это выражение называется интегралом Фурье и объединяет прямое преобразование Фурье

$$\Phi(f) = \int_{-\infty}^{\infty} \varphi(t) e^{-j2\pi ft} dt$$

и обратное преобразование Фурье

$$\varphi(t) = \int_{-\infty}^{\infty} \Phi(f) e^{j2\pi ft} df.$$

Приведенные преобразования существуют только для функций с ограниченной энергией:

$$\int_{-\infty}^{\infty} |\varphi(t)|^2 dt < \infty$$

И ряд, и интеграл могут быть названы преобразованием Фурье (ПФ), но обычно этим термином обозначается именно интеграл Фурье. Преобразование Фурье сигнала так же называется спектром сигнала.

## 3.2 Свойства преобразования Фурье.

Преобразование Фурье имеет ряд свойств:

1. Суммирование функций.

Преобразование Фурье – линейное преобразование. Отсюда следует

$$\sum_{i=1}^n \alpha_i \varphi_i(t) \leftrightarrow \sum_{i=1}^n \alpha_i \Phi_i(f).$$

где  $\alpha_i$  – постоянный коэффициент.

2. Смещение функций.

При смещении функции на  $t_0$  ее ПФ умножается на  $e^{j2\pi ft_0}$ :

$$\varphi(t - t_0) \leftrightarrow e^{-j2\pi ft_0} \Phi(f).$$

3. Изменение масштаба аргумента функции. При домножении аргумента функции  $t$  на постоянный коэффициент  $\alpha$ , ПФ функции имеет вид  $\frac{1}{|\alpha|} \Phi\left(\frac{f}{\alpha}\right)$ :

$$\varphi(\alpha t) \leftrightarrow \frac{1}{|\alpha|} \Phi\left(\frac{f}{\alpha}\right).$$

4. Перемножение функций. ПФ произведения двух функции равно свертки ПФ этих функций:

$$\varphi_1(t)\varphi_2(t) \leftrightarrow \Phi_1(f) * \Phi_2(f).$$

5. Свертывание функций.

ПФ свертки двух функций равно произведению ПФ этих функций:

$$\varphi_1(t) * \varphi_2(t) \leftrightarrow \Phi_1(f)\Phi_2(f).$$

6. Дифференцирование функции.

При дифференцировании функции ее ПФ домножается на  $j2\pi f$ :

$$\frac{d[\varphi(t)]}{dt} \leftrightarrow j2\pi f\Phi(f).$$

7. Интегрирование функции.

При интегрировании функции ее ПФ делится на  $j2\pi f$ :

$$\int_{-\infty}^t \varphi(t')dt' \leftrightarrow \frac{1}{j2\pi f}\Phi(f).$$

8. Обратимость преобразования.

Преобразование обратимо с точность до знака аргумента.

$$\begin{aligned} \varphi(t) &\leftarrow \Phi(f) \\ \Phi(t) &\leftrightarrow \varphi(-f), \quad \Phi(-t) \leftrightarrow \varphi(f) \end{aligned}$$

### 3.3 Основные классы сигналов и их спектры.

Обычно классификация сигнала выполняется по ряду основных признаков: конечность, периодичность и дискретность.

#### 3.3.1 Конечный сигнал.

Сигнал конечной длительности имеет значение только внутри определенного интервала и вне его принимает значение 0. Такой сигнал можно представить как произведение сигнала бесконечной длительности и прямоугольной функции:

$$x_f(t) = x(t) \cdot \Pi(t, T) = \begin{cases} x(t), t \in [-T/2, T/2] \\ 0, t \notin [-T/2, T/2] \end{cases}.$$

При применении ПФ к данному виду сигналов происходит свертка образа сигнала и образа прямоугольной функции:

$$\Phi_f(f) = \Phi(f) * \frac{\sin(\pi f T)}{\pi f} = \Phi(f) * \text{sinc}(\pi f).$$

### 3.3.2 Периодический сигнал.

Периодический сигнал обладает свойством  $x_p(t) = x_p(t - kT)$ , где  $k \in \mathbb{Z}$ , а  $T$  – период. Такой сигнал можно представить как свертку одиночного сигнала длительностью  $T$  и последовательности дельта импульсов:

$$x_p(t) = x_{pT}(t) * \text{Ш}(t, T).$$

При применении ПФ выполняется умножение образа функции на последовательность дельта импульсов. Спектр периодического сигнала дискретен и соотносится с ПФ одиночного сигнала следующим образом:

$$\Phi_p(f) = \Phi_{pT}(f) \cdot \text{Ш}(f, \frac{1}{T}).$$

### 3.3.3 Дискретный сигнал.

Дискретный по времени сигнал обычно состоит из набора равноотстоящих по времени отсчетов отсчетов. Его можно представить как произведение непрерывного сигнала и последовательности дельта импульсов:

$$x_d(t) = x(t) \cdot \text{Ш}(t, T_s).$$

При выполнении ПФ произойдет свертка образа функции и последовательности импульсов. Спектр дискретного сигнала периодическая функция с периодом  $\frac{1}{T_s}$ :

$$\Phi_d(f) = \Phi(f) * \text{Ш}(f, \frac{1}{T_s}).$$

## 3.4 Спектры некоторых простых сигналов.

В ходе работы была выполнена генерация нескольких наборов данных, состоящих из 512 отсчетов. Каждый набор представляет сигнал определенного вида. Для каждого сигнала с помощью алгоритма быстрого преобразования Фурье был найден спектр. Сигналы конечны и дискретны, поэтому полученные спектры периодичны и имеют искажения обусловленные сверткой с функцией  $\text{sinc}(\pi f)$ . На рисунках ниже преобразование приведено на интервале  $[-T_s/2, T_s/2]$ , что соответствует одному периоду.

### 3.4.1 Гармонический сигнал.

Спектр гармонического сигнала представляет собой набор дискретных отсчетов на частоте, которая совпадает с частотой гармоник в сигнале. Значение спектра в отсчетах зависит от амплитуды соответствующих гармоник.

На рисунке 3.1 приведен гармонический сигнал, описываемый выражением  $x(t) = \sin(2\pi f_0 t) + 0.2 \cos(2\pi f_1 t)$ ,  $f_0 = 10\text{Гц}$ ,  $f_1 = 2\text{Гц}$ . На рисунке 3.2 приведен амплитудный спектр  $|\Phi(f)|$  данного сигнала.

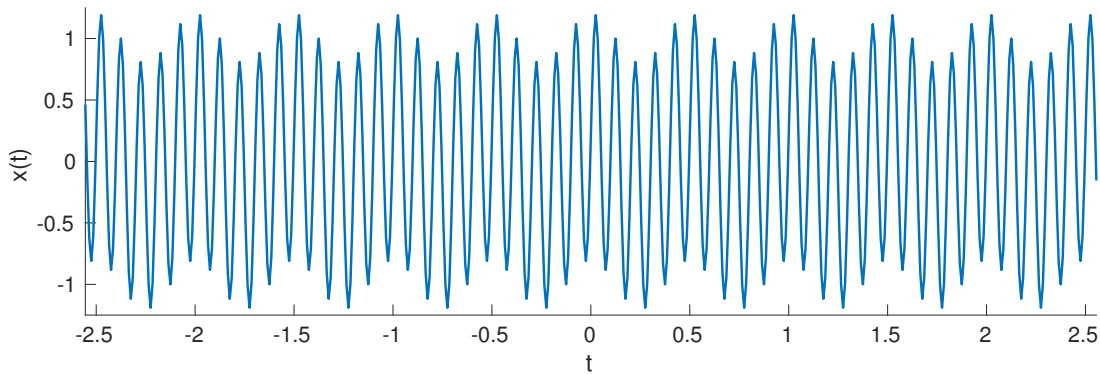


Рис. 3.1: Гармонический сигнал вида  $x(t) = \sin(2\pi \cdot 10t) + 0.2 \cos(2\pi \cdot 2t)$ .

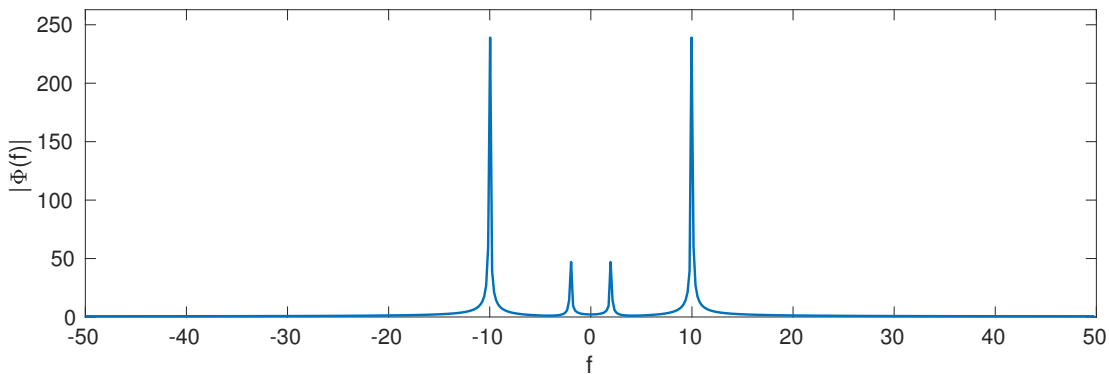


Рис. 3.2: Амплитудный спектр гармонического сигнала вида  $x(t) = \sin(2\pi \cdot 10t) + 0.2 \cos(2\pi \cdot 2t)$ .

### 3.4.2 Прямоугольный сигнал.

Спектром прямоугольного импульса длительностью  $T_i$  является  $\text{sinc}(\pi f) = \frac{\sin(\pi f T_i)}{\pi f}$ . При повторении импульсов с периодом  $T_0$  происходит дискретизация спектра, отсчеты находятся на расстоянии  $f_0 = 1/T_0$ .

Прямоугольный периодический сигнал с длительностью импульса  $T_i = 0.1\text{ с}$  и периодом  $T = 0.2\text{ с}$  приведен на рисунке 3.3, а его спектр – на

рисунке 3.4.

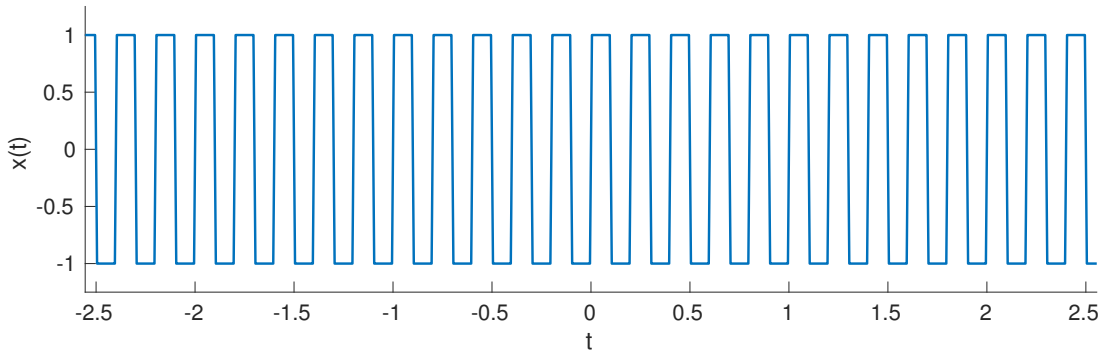


Рис. 3.3: Прямоугольный периодический сигнал.  $T_i = 0.1$  с,  $T = 0.2$  с.

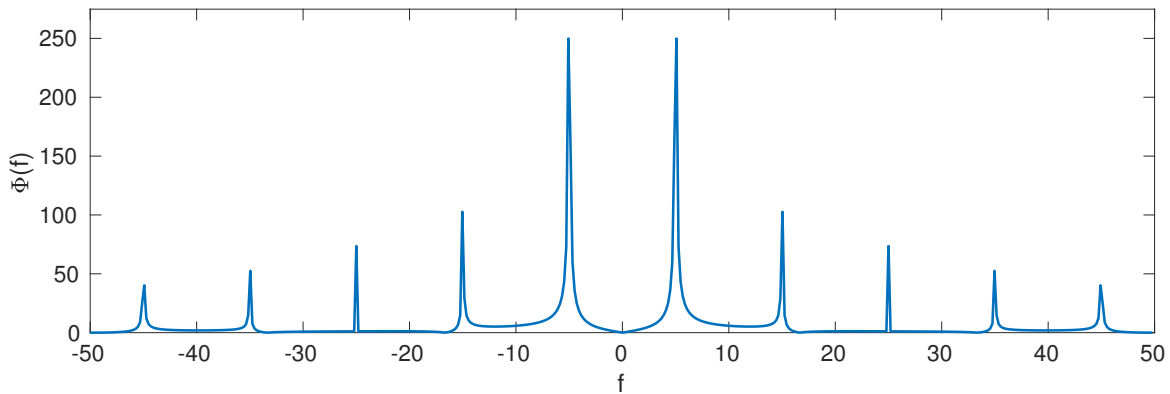


Рис. 3.4: Спектр прямоугольного периодического сигнала.  
 $T_i = 0.1$  с,  $T = 0.2$  с.

Отсчеты в спектре находятся на расстоянии 10 Гц друг от друга, что соответствует  $2f_0$ . Это объясняется тем, что функция  $\frac{\sin(\pi f T_i)}{\pi f}$  имеет корни в точках  $f = k/T_i$ , где  $k$  – целое число, а в данном случае  $2T_i = T_0$ . Таким образом, в точках  $f = k \cdot 2/T_0 = 2kf_0$  спектр равен 0, т.е. половина отсчетов равны нулю.

### 3.4.3 Треугольный сигнал.

Треугольный импульс может быть представлен как свертка двух прямоугольных импульсов, таким образом, спектр одиночного треугольного сигнала это функция  $\text{sinc}(\pi f)^2$ .

Треугольный периодический сигнал с период  $T = 0.2$  с приведен на рисунке 3.5, его спектр приведен на рисунке 3.6. Для данного случая справедливы те же рассуждения, что и для периодического прямоугольного сигнала.

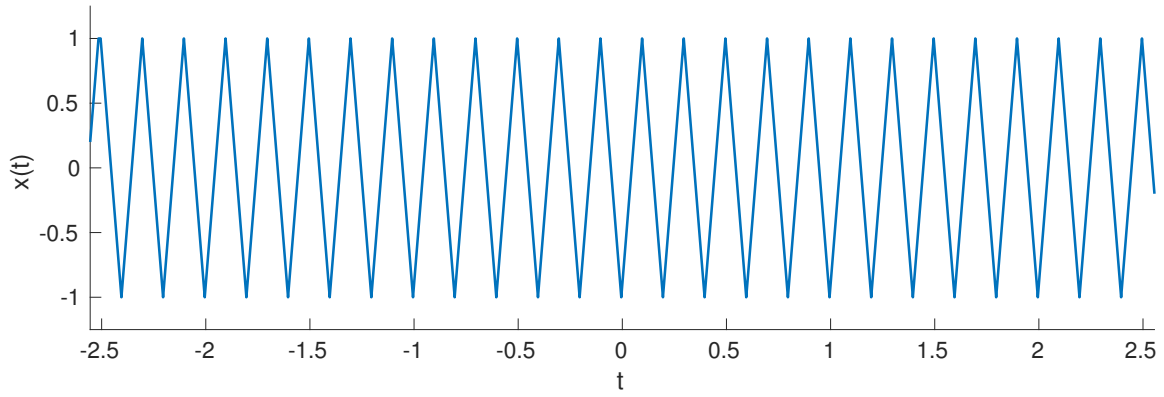


Рис. 3.5: Треугольный периодический сигнал.  $T = 0.2$  с

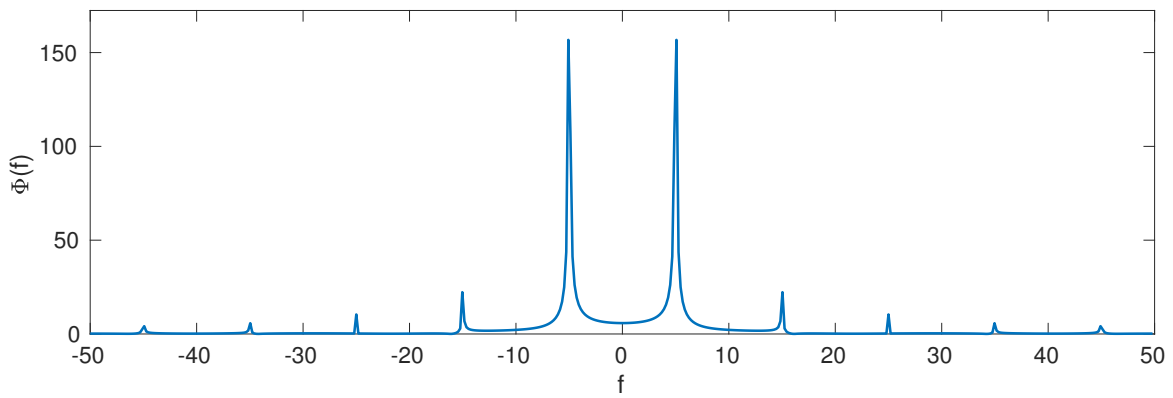


Рис. 3.6: Спектр треугольного периодического сигнала.  $T = 0.2$  с

### 3.5 Корреляция.

Корреляция – это математический аппарат, который позволяет определить меру схожести двух сигналов. Пусть  $x(t)$  и  $y(t)$  – два сигнала с конечной энергией, тогда для них корреляция определяется как

$$r(\tau) = \int_{-\infty}^{\infty} x(t) y(t + \tau) d\tau.$$

Параметр  $\tau$  определяет смещение одного сигнала относительно другого. Введение смещения позволяет определить корреляцию сигналов независимо от возможных временных задержек.

Для дискретных и конечных сигналов корреляция имеет вид

$$r(\tau) = \sum_{i=n}^{N-1} x(n) y(n + \tau) d\tau,$$

где  $N$  – число отсчетов, а  $\tau$  целое.



Расчет корреляции можно ускорить, используя теорему о корреляции, которая обычно формулируется следующим образом:

$$r = F_D^{-1}[F_D(x(n))F_D(y(n))].$$

Здесь  $F_D$  обозначает дискретное преобразование Фурье, а  $F_D^{-1}$  – преобразование Фурье. Вектор  $r$  содержит результаты круговой корреляции, номер компоненты соответствует смещению.

Для сравнения представленных способов вычисления был выполнен расчет круговой корреляции с помощью преобразования Фурье и прямым методом. Результаты приведены на рисунке 3.7.

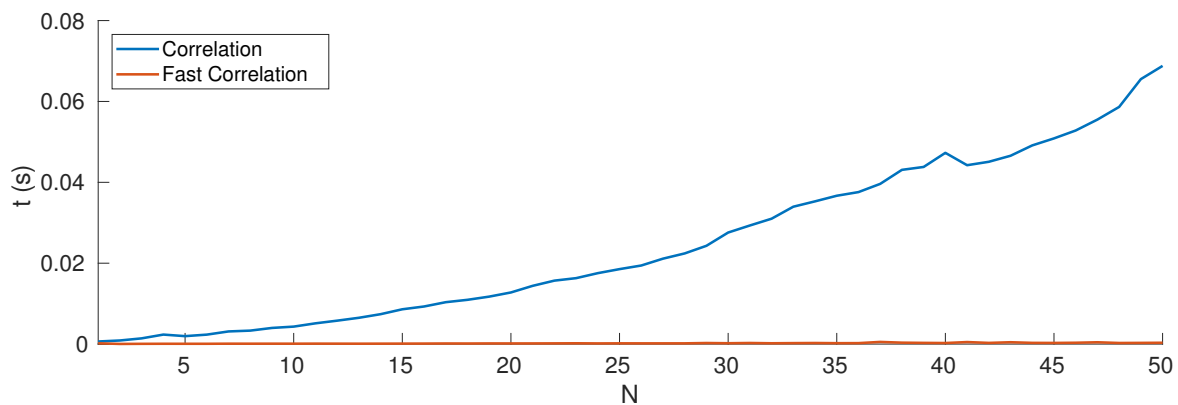


Рис. 3.7: Зависимость времени вычисления корреляции от длины входных последовательностей.

Если число элементов обрабатываемых последовательностей достаточно велико, данный метод позволяет получить результат за меньшее время, чем непосредственный расчет корреляции.

### 3.6 Поиск синхропосылки в сигнале с помощью корреляции. Получение пакета данных.

Корреляция часто применяется для поиска заданной последовательности в потоке данных. Ниже рассмотрен пример поиска синхропосылки [101] в сигнале [0001010111000010] и получение следующего за ней пакета информации объемом 8 бит.

Для заданного сигнала была вычислена корреляция с искомой последовательностью при смещении от 0 до 16. Полученный результат приведен на рисунке 3.8.

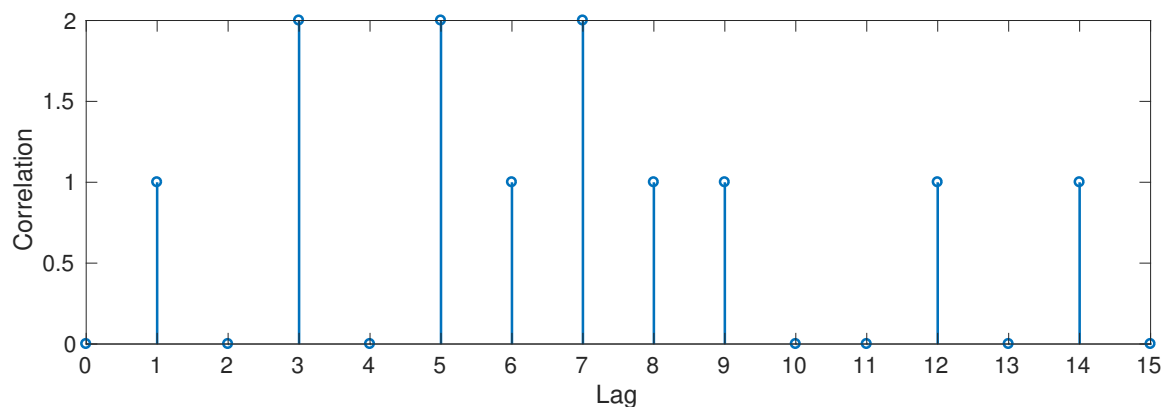


Рис. 3.8: Корреляция между сигналом и синхропосылкой.

Корреляция максимальна при трех различных смещениях. В качестве синхропосылки принимается последовательность с минимальным смещением, таким образом полученный пакет имеет вид  $[01110000]$ . На рисунке 3.9 приведен сигнал, на котором цветом выделены синхропосылка и пакет данных.

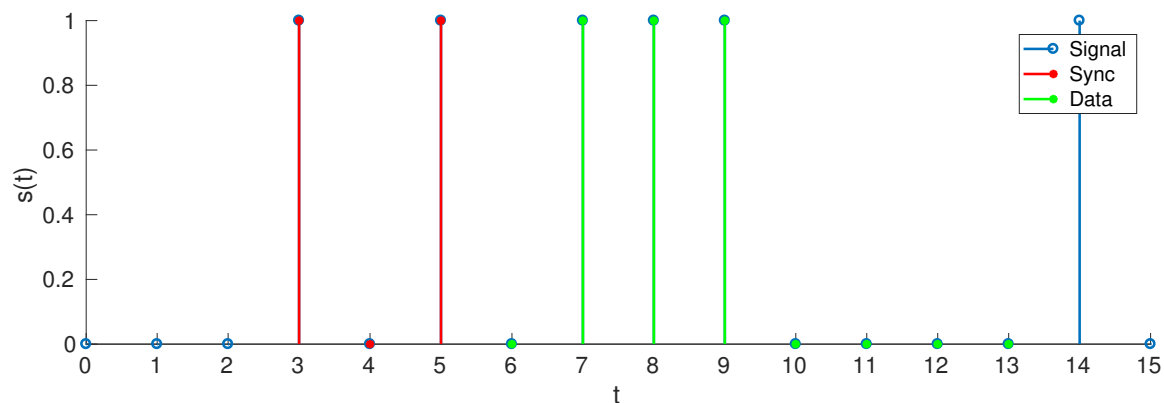


Рис. 3.9: Принимаемый сигнал.

Корреляция синхропосылки  $[101]$  последовательностями  $[101]$  и  $[111]$ , одинакова. Это может привести к ложному срабатыванию, данную проблему можно решить если использовать в качестве синхропосылки последовательность единиц.

## 4 Выводы.

Преобразование Фурье позволяет представить сигнал в базисе гармонических колебаний разной частоты. Это значительно облегчает обработку и синтез сигналов.

Важнейшими свойствами ПФ являются теорема о свертывании сигналов и теорема о перемножении сигналов: произведение функций - это

свертка их образов, свертка функций - это произведение их образов.

Спектр периодического сигнала дискретный, а дискретного - периодический. Если сигнал конечный, то при выполнении преобразования его образ сворачивается с функцией  $\text{sinc}(\pi f)$ .

Корреляция дает возможность определить степень схожести двух сигналов, расчет с учетом смещения позволяет определить и компенсировать временные задержки. Данный инструмент часто применяется для поиска известной последовательности во входном сигнале.

## 5 Приложение.

Листинг 1: Программа для генерации приведенных сигналов и спектров.

```
1 close all
2 clear all
3
4 figure_properties = { 'units', 'centimeters', 'position '
5     , [12, 10, 30, 10], ...
6     'DefaultAxesPosition', [0.08, 0.17, 0.88, 0.8] };
7 lw = 1.8;
8 fs = 16;
9 signal_type = 2;
10
11 N = 512;
12 Fs = 100;
13 Ts = 1/Fs;
14 F0 = 5;
15 T0 = 1/F0;
16
17 t = -Ts*(N-1)/2:Ts:Ts*(N-1)/2;
18
19 switch signal_type
20     case 0
21         x = sin(2*pi*F0*t) + 0.2*cos(2*pi*(F0/5)*t);
22     case 1
23         x = square(2*pi*F0*t, 30);
24     case 2
25         width = (Fs/F0)/2;
26         t = [-Ts*((N-1)/2+width):Ts:-Ts*(N-1)/2, t];
27         x = square(2*pi*F0*t);
```

```

28     coeffs = ones(1, width)/width;
29     x = filter(coeffs, 1, x);
30     x = x(width+2:end);
31     t = t(width+2:end);
32     case 3
33         x = double(mod(round(t/Ts), round((Fs/F0))) ==
34                     0);
35     otherwise
36         x = ones(0, length(t));
37 end
38 s = fft(x, N);
39 s = fftshift(s);
40 f = (Fs/N)*(-N/2:(N/2-1));
41
42 figure.figure_properties{:}
43 hold on
44 plot(t, x, 'LineWidth', lw)
45 xlim([min(t), max(t)])
46 ylim([-1.25, 1.25])
47 xlabel('t')
48 ylabel('x(t)')
49 set(gca, 'FontSize', fs)
50
51 figure.figure_properties{:}
52 plot(f, abs(s), 'LineWidth', lw)
53 ylim([0, max(abs(s)) * 1.1])
54 ylabel('| \Phi(f) |')
55 xlabel('f')
56 set(gca, 'FontSize', fs)

```

Листинг 2: Программа для поиска синхропосылки в сигнале.

```

1 close all
2 clear all
3
4 figure_properties = {'units', 'centimeters', 'position'
5                     , [12, 10, 30, 10], ...
6                     'DefaultAxesPosition', [0.08, 0.17, 0.88, 0.8]};
7 lw = 1.8;
8 fs = 16;

```

```

9  signal = [0 0 0 1 0 1 0 1 1 1 0 0 0 0 1 0];
10 sync = [1 0 1];
11
12 signal_len = length(signal);
13 sync_len = 3;
14 data_len = 8;
15
16 pos = 0:(signal_len-1);
17
18 [corr, lag] = xcorr(signal, sync);
19 corr = corr(signal_len:end);
20 lag = lag(signal_len:end);
21
22 max_corr_ind = (corr == max(corr));
23
24 figure (figure_properties{:})
25 stem(lag, corr, 'LineWidth', lw)
26 xticks(lag)
27 xlabel('Lag')
28 ylabel('Correlation')
29 set(gca, 'FontSize', fs)
30
31 figure (figure_properties{:})
32 hold on
33 stem(pos, signal, 'LineWidth', lw)
34 xticks(pos)
35 xlabel('t')
36 ylabel('s(t)')
37 set(gca, 'FontSize', fs)
38
39
40 for i = 1:length(max_corr_ind)
41     if (max_corr_ind(i))
42         sync_range = (lag(i):(lag(i)+sync_len-1)) + 1;
43         data_range = sync_range(end)+1:sync_range(end)
44                     +8;
45         if (data_range(end) > signal_len)
46             data_range = data_range(1):signal_len;
47         end
48         figure (figure_properties{:})
49         hold on

```

```

49     stem(pos, signal, 'LineWidth', lw)
50     stem(pos(sync_range), sync, 'r*', 'LineWidth',
        lw)
51     stem(pos(data_range), signal(data_range), 'g*',
        'LineWidth', lw)
52     legend('Signal', 'Sync', 'Data')
53     xticks(pos)
54     xlabel('t')
55     ylabel('s(t)')
56     set(gca, 'FontSize', fs)
57 end
58 end
59
60 data_start = min(lag(max_corr_ind));
61 data_range = (data_start+1:data_start+data_len) +
    sync_len;
62 data = signal(data_range)

```

Листинг 3: Программа для измерения времени работы алгоритмов вычисления корреляции.

```

1  close all
2  clear all
3
4  figure_properties = {'units', 'centimeters', 'position',
    , [12, 10, 30, 10], ...
5      'DefaultAxesPosition', [0.08, 0.17, 0.88, 0.8]};
6  lw = 1.8;
7  fs = 16;
8
9  n = 10;
10
11  l = 50;
12  m = 10;
13
14  time = zeros(l, m);
15  time_fast = zeros(l, m);
16
17  for i = 1:l
18
19      i
20

```

```

21 x = (rand(1, i * 100) * 100) - 50;
22 y = (rand(1, i * 100) * 100) - 50;
23
24 for j = 1:m
25
26     tic
27     corr(x, y);
28     time(i, j) = toc;
29
30     tic
31     fast_corr(x, y);
32     time_fast(i, j) = toc;
33
34 end
35 end
36
37 mt = mean(time, 2);
38 mtf = mean(time_fast, 2);
39
40 figure (figure_properties{:})
41 hold on
42 semilogy(mt, 'LineWidth', lw)
43 semilogy(mtf, 'LineWidth', lw)
44 legend('Correlation', 'Fast Correlation', 'Location', ' ',
45         'northwest')
46 xlabel('N')
47 ylabel('t (s)')
48 xlim([1, length(mt)])
49 set(gca, 'FontSize', fs)
50
51 function r = corr(x, y)
52     n = length(x);
53     r = zeros(1, n);
54     s_x = x;
55     for i = 1:n
56         r(i) = sum(s_x .* y) / n;
57         s_x = circshift(s_x, 1);
58     end
59 end
60

```

```
61 function r = fast_corr(x, y)
62     r = ifft(conj(fft(x)) .* fft(y)) ./ length(x);
63
64 end
```